

- Trasformazioni

$$\begin{aligned}B_A &= (J_A B^{-1} J_A^T)^{-1} \\C_A \dot{x} &= B_A J_A B^{-1} C \dot{q} - B_A J_A \dot{q} \\g_A &= B_A J_A B^{-1} g\end{aligned}$$

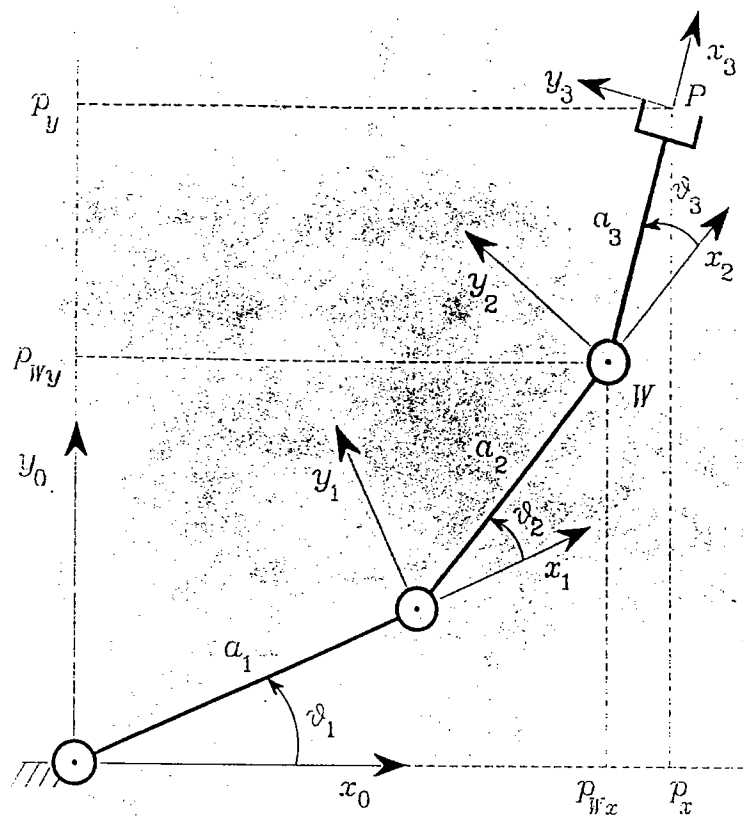
★ manipolatore non ridondante

$$\begin{aligned}B_A &= J_A^{-T} B J_A^{-1} \\C_A \dot{x} &= J_A^{-T} C \dot{q} - B_A J_A \dot{q} \\g_A &= J_A^{-T} g\end{aligned}$$

- Equazioni del moto

$$B_A(x) \ddot{x} + C_A(x, \dot{x}) \dot{x} + g_A(x) = \gamma_A - h_A$$

Manipolatore planare a tre bracci



$$J(q) = \begin{bmatrix} z_0 \times (p - p_0) & z_1 \times (p - p_1) & z_2 \times (p - p_2) \\ z_0 & z_1 & z_2 \end{bmatrix}$$

$$p_0 = \begin{bmatrix} 0 \\ 0 \\ 0 \end{bmatrix} \quad p_1 = \begin{bmatrix} a_1 c_1 \\ a_1 s_1 \\ 0 \end{bmatrix} \quad p_2 = \begin{bmatrix} a_1 c_1 + a_2 c_{12} \\ a_1 s_1 + a_2 s_{12} \\ 0 \end{bmatrix}$$

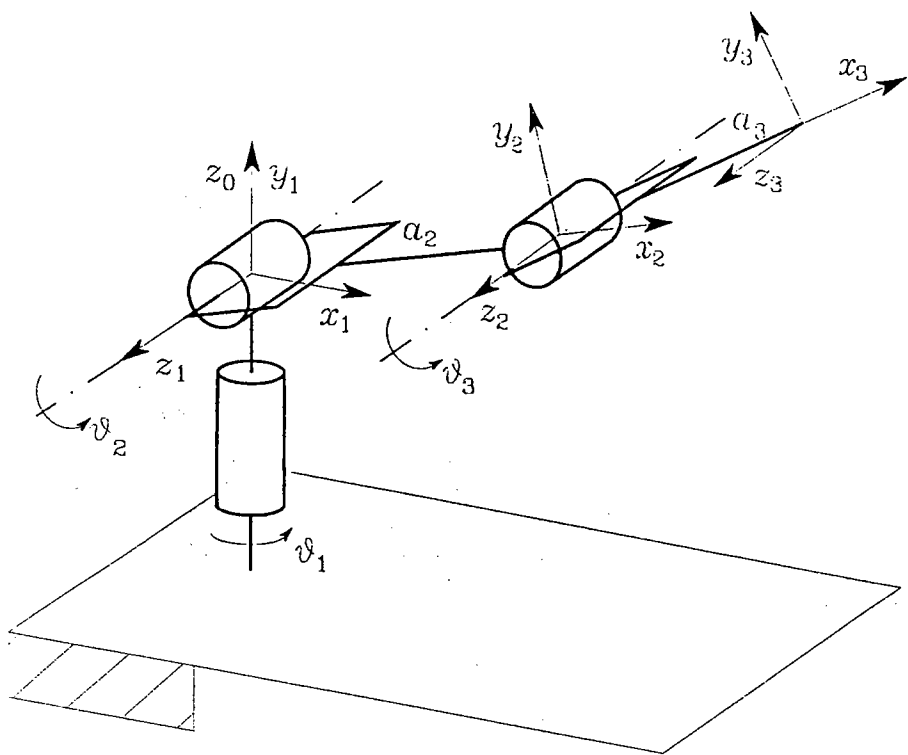
$$p = \begin{bmatrix} a_1 c_1 + a_2 c_{12} + a_3 c_{123} \\ a_1 s_1 + a_2 s_{12} + a_3 s_{123} \\ 0 \end{bmatrix}$$

$$z_0 = z_1 = z_2 = \begin{bmatrix} 0 \\ 0 \\ 1 \end{bmatrix}$$

$$J = \begin{bmatrix} -a_1 s_1 - a_2 s_{12} - a_3 s_{123} & -a_2 s_{12} - a_3 s_{123} & -a_3 s_{123} \\ a_1 c_1 + a_2 c_{12} + a_3 c_{123} & a_2 c_{12} + a_3 c_{123} & a_3 c_{123} \\ 0 & 0 & 0 \\ 0 & 0 & 0 \\ 0 & 0 & 0 \\ 1 & 1 & 1 \end{bmatrix}$$

$$J_P = \begin{bmatrix} -a_1 s_1 - a_2 s_{12} - a_3 s_{123} & -a_2 s_{12} - a_3 s_{123} & -a_3 s_{123} \\ a_1 c_1 + a_2 c_{12} + a_3 c_{123} & a_2 c_{12} + a_3 c_{123} & a_3 c_{123} \end{bmatrix}$$

Manipolatore antropomorfo



$$\mathbf{J} = \begin{bmatrix} \mathbf{z}_0 \times (\mathbf{p} - \mathbf{p}_0) & \mathbf{z}_1 \times (\mathbf{p} - \mathbf{p}_1) & \mathbf{z}_2 \times (\mathbf{p} - \mathbf{p}_2) \\ \mathbf{z}_0 & \mathbf{z}_1 & \mathbf{z}_2 \end{bmatrix}$$

$$\mathbf{p}_0 = \mathbf{p}_1 = \begin{bmatrix} 0 \\ 0 \\ 0 \end{bmatrix} \quad \mathbf{p}_2 = \begin{bmatrix} a_2 c_1 c_2 \\ a_2 s_1 c_2 \\ a_2 s_2 \end{bmatrix}$$

$$\mathbf{p} = \begin{bmatrix} c_1(a_2 c_2 + a_3 c_{23}) \\ s_1(a_2 c_2 + a_3 c_{23}) \\ a_2 s_2 + a_3 s_{23} \end{bmatrix}$$

$$\mathbf{z}_0 = \begin{bmatrix} 0 \\ 0 \\ 1 \end{bmatrix} \quad \mathbf{z}_1 = \mathbf{z}_2 = \begin{bmatrix} s_1 \\ -c_1 \\ 0 \end{bmatrix}$$

$$J = \begin{bmatrix} -s_1(a_2c_2 + a_3c_{23}) & -c_1(a_2s_2 + a_3s_{23}) & -a_3c_1s_{23} \\ c_1(a_2c_2 + a_3c_{23}) & -s_1(a_2s_2 + a_3s_{23}) & -a_3s_1s_{23} \\ 0 & a_2c_2 + a_3c_{23} & a_3c_{23} \\ 0 & s_1 & s_1 \\ 0 & -c_1 & -c_1 \\ 1 & 0 & 0 \end{bmatrix}$$

$$J_P = \begin{bmatrix} -s_1(a_2c_2 + a_3c_{23}) & -c_1(a_2s_2 + a_3s_{23}) & -a_3c_1s_{23} \\ c_1(a_2c_2 + a_3c_{23}) & -s_1(a_2s_2 + a_3s_{23}) & -a_3s_1s_{23} \\ 0 & a_2c_2 + a_3c_{23} & a_3c_{23} \end{bmatrix}$$

Tra le 12 componenti ci sono:

• 12 vettori di velocità (vettori:

$$\dot{\underline{x}} = \dot{\tau}(\underline{q}) \underline{q}$$

$$\dot{\underline{v}} = \dot{\tau}^T(\underline{q}) \underline{v}$$

• dove \underline{q} ha 12 componenti (velocità dei gradi di libertà)

$\dot{\underline{x}}$ ha 12 componenti (velocità dell'end-effector)

$\dot{\underline{v}}$ ha 12 componenti (forze e momenti)

$\dot{\underline{w}}$ ha 12 componenti

• Le dimensioni fisiche di questi vettori sono in generale disomogenee

• Il vettore $\dot{\underline{x}}$ della velocità dell'end-effector (o della terza di riferimento di interesse in generale) può essere scelto in modi diversi a seconda dei compiti su cui si pone attenzione. Ad es.

• Se interessano posizione e orientazione dell'end-effector in una polare (1D), $\dot{\underline{x}} = (\dot{p})$ è la velocità dell'origine o (0); nel singolare di un end-effector (1D) si dice "TWIST" (\dot{p})

• Analogamente in 2D, $\dot{\underline{x}} = (\dot{p})$ ha dimensioni

• Se i vettori di velocità non operante su 1D, si dice: $\dot{\underline{x}} = (\dot{p})$

- Considerazioni analoghe si afflichano alle forze/couple applicate sull'end-effector, \underline{w} . Naturalmente, laddove per una certa componente di \underline{x} si sceglie una vel. lineare, la corrispondente componente di \underline{w} dovrà essere una forza; se in \underline{x} ha una componente di vel. angolare, in \underline{w} dovrà avere un momento.

• Han's Eq, $\underline{w} = \begin{pmatrix} f \\ m \end{pmatrix}$, f : forza applicata all'effector
 m : momento attorno all'effector
 (m) si dice "WRENCH"

- Le stesse relazioni valgono tra le componenti di per denominazione in g e n. a gradi: rotoidali corrispondono vel. angolare e coppia a gradi prismatici vel. lineari e forze.

La definizione con gradi è delle componenti $\underline{x}, \underline{y}, \underline{z}$ e $\underline{f}, \underline{m}$, che sono ben definite, perché

$$\langle \underline{x}, \underline{y} \rangle = \underline{w}_x$$

$$\langle \underline{z}, \underline{y} \rangle = \underline{w}_z$$

(che hanno le dimensioni fisiche, potenze meccaniche / Nm)

- Note Bene: non sono in generale bene definite i prodotti in termini tra le grandezze analoghe:

$\langle \underline{x}, \underline{x} \rangle = \underline{x}^T \underline{x} = ?$ dimensioni fisiche discognibili nella somma di quadrati!

$\langle \underline{w}, \underline{w} \rangle = ?$ Quando si "brinda" con i vini, si fa?

$\langle \underline{x}, \underline{w} \rangle = ?$ Soltanto i vini hanno dimensioni fisiche?

Ridondanza e Difettività

- Consideriamo un manipolatore con $J(q)$ $m \times m$

$$J(q) = \begin{pmatrix} J_{11} & \dots & J_{1m} \\ \vdots & \ddots & \vdots \\ J_{m1} & \dots & J_{mm} \end{pmatrix}$$

$m = \text{Dimensione del Task Space}$

- Se $n > m$ il manipolatore si dice ridondante
- $n < m$ si dice difettivo
- $n = m$ si dice minimale (quadrato)

- I valori di q per i quali $\text{rank } J(q) < \min\{n, m\}$ si dicono singularità del manipolatore

Una singolarità è semplice se $\text{rank } J(q_s) = \min\{n, m\} - 1$
 doppia $\Rightarrow \text{rank } J(q_s) = \min\{n, m\} - 2$
 etc.

Se fosse $\text{rank } J(q) < \min\{n, m\}$, $\forall q$, si avrebbe una singolarità "bancata".

semplici: Manipolatore Pianare RRR } $n=3$ Q
 task posiz. + orientaz. EE } $n=3$ P

Manipolatore Pianare RRP } $n=3$ Q
 task posiz. P

Manipolatore Pianare RR } $n=2$ Q
 task posiz. + orientaz. } $n=3$ P

Manipolatore Pianare PPP } $n=3$ Q
 task posiz. + orientaz. } $n=3$ S.B.

Manipolatore Pianare PPP } $n=3$ Q
 task posiz. + orientaz. } $n=3$ S.B.

Guardiamo le relazioni lineari delle ciueto-statiche

$$\begin{cases} \dot{X} = J(q) \dot{q} \\ \ddot{X} = J^T(q) \ddot{w} \end{cases}$$

I sottospazi fondamentali della matrice $J(q)$ hanno in Robotica una interpretazione fisica immediata:

- $R(J(q))$: sottospazio che contiene tutte e sole le possibili velocità dell'end-effector (il versore delle velocità dei giunti).
- $dN(J(q))$: sottospazio delle velocità dei giunti che lasciano nulla la velocità dell'end-effector (ridondanti).
- $R(J^T)$: sottospazio delle possibili coppie di giunti al versore del carico esterno.
- $dN(J^T)$: sottospazio delle forze/coppie esterne che sono bilanciate da coppie di giunti nulle - cioè che si scaricano interamente sulla struttura meccanica.

Il teorema fondamentale dell'algebra lineare dice che

$$\dim R(J) + \dim dN(J^T) = m$$

$$\dim N(J) + \dim R(J^T) = m$$

= si può leggere in Robotica così:

- la differenza tra le dimensioni del task-space (m) e del sottospazio delle velocità possibili in una configurazione, è pari alla dimensione del sottospazio delle forze esterne strutturalmente assorbite.

La differenza tra il numero dei giunti (n) e la dim. delle coppie ridondanti è minima, dato che le velocità ridon-

Il teorema fondamentale ha due espressioni più forte nei casi in cui i spazi di spazio e dominio delle effeze sono lineari siano definiti in prodotto interno e quindi un concetto di ortogonalità:

$$\begin{aligned} R(\mathbf{J})^\perp &= \text{d}\Gamma(\mathbf{J}^T) \\ \text{d}\Gamma(\mathbf{J}^T)^\perp &= R(\mathbf{J}) \end{aligned}$$

Che significa: se $\text{d}\Gamma(\mathbf{J}^T)$ è composto di tutti e soli i vettori (n -dimensionali) che sono perpendicolari ai vettori in $R(\mathbf{J})$ (anch'essi ovviamente n -dimensionali).

Inoltre se si è visto che sugli spazi $\dot{x}, \dot{t}, \dot{w}, \dot{g}$ non sono definiti prodotti scalari e ortogonalità, dobbiamo visto che siamo ben definiti i prodotti $\langle \dot{t}, \dot{g} \rangle$ e $\langle \dot{w}, \dot{x} \rangle$.

Diciamo che un wrench \dot{w} ed un twist \dot{t} sono complementari se $\langle \dot{w}, \dot{x} \rangle = \dot{w}^T \dot{x} = 0$ - Scriviamo ancora $\dot{w} \perp \dot{x}$ analogamente per $\dot{z} \in \dot{g}$.

È dunque la relazione tra complementi ortogonali spesso parlata può essere fatta in Robotica come segue:

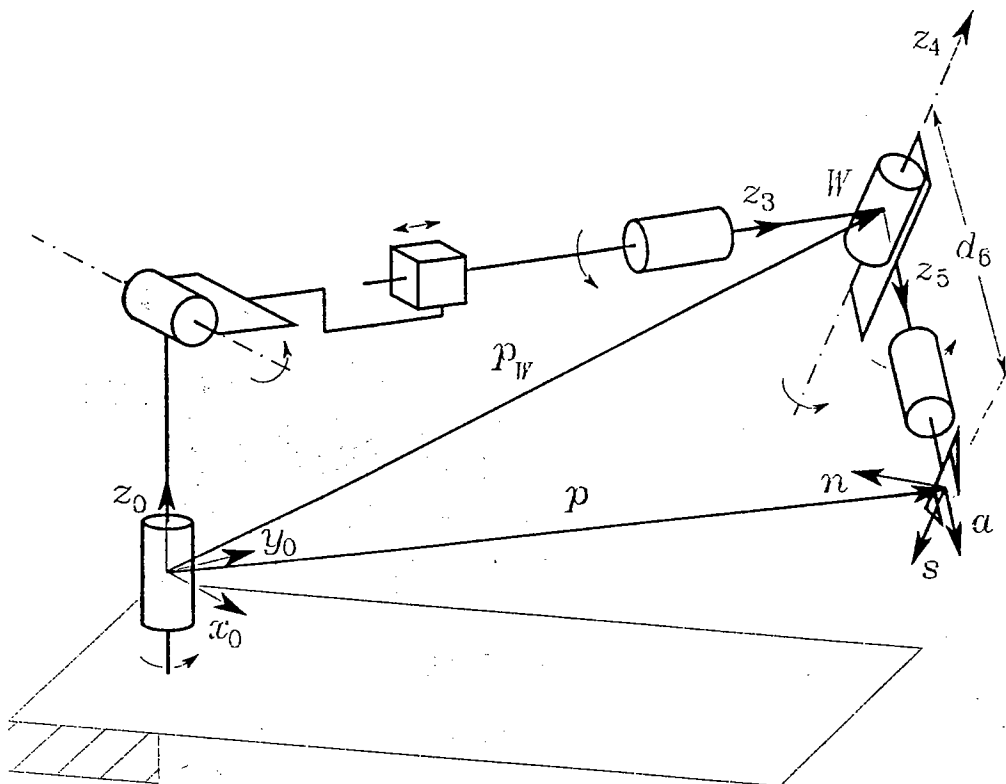
- I wrench strutturali sono complementari alle velocità dell'end effector.
- Le velocità redundanti sono complementari alle coppie di giunti eccitabili da forze sull'end effector.

SINGOLARITÀ CINEMATICHE

$$v = J(q)\dot{q}$$

- se J diminuisce di rango \implies *singolarità cinematiche*
 - (a) perdita di mobilità
 - (b) infinite soluzioni al problema cinematico inverso
 - (c) velocità elevate nello spazio dei giunti (nell'intorno di una singolarità)
- Classificazione
 - * Singolarità *ai confini dello spazio di lavoro raggiungibile*
 - * Singolarità *all'interno dello spazio di lavoro raggiungibile*

Disaccoppiamento di singolarità



- calcolo delle singolarità della struttura portante
- calcolo delle singolarità del polso

16

$$J = \begin{bmatrix} J_{11} & J_{12} \\ J_{21} & J_{22} \end{bmatrix}$$

$$J_{12} = [z_3 \times (p - p_3) \quad z_4 \times (p - p_4) \quad z_5 \times (p - p_5)]$$

$$J_{22} = [z_3 \quad z_4 \quad z_5]$$

- $p = p_W \implies p_W - p_i$ paralleli a $z_i, i = 3, 4, 5$

$$J_{12} = [0 \quad 0 \quad 0]$$

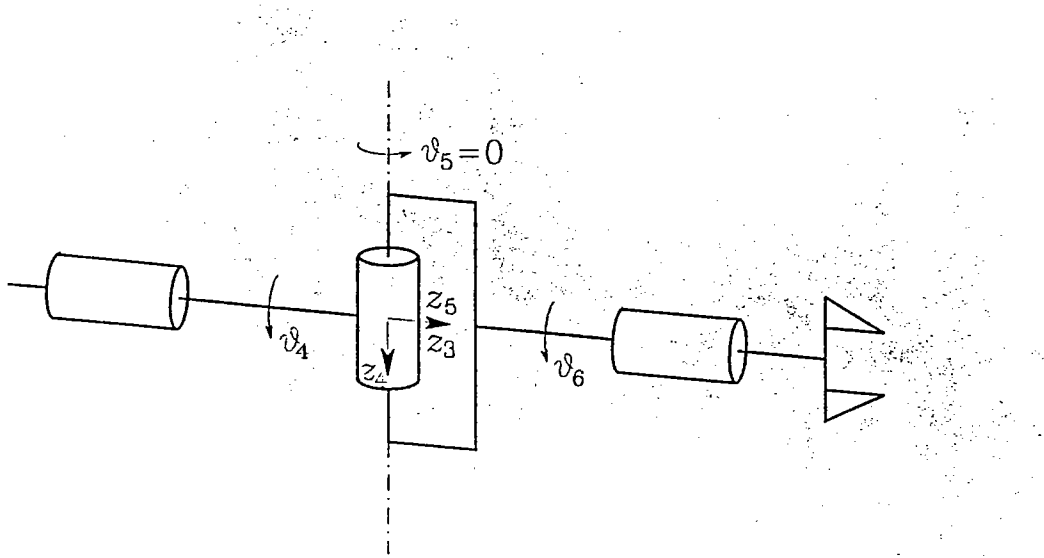
$$\det(J) = \det(J_{11})\det(J_{22})$$

$$\det(J_{11}) = 0 \qquad \qquad \det(J_{22}) = 0$$

Singolarità di polso

- z_3 parallelo a z_5

$$\vartheta_5 = 0 \quad \vartheta_5 = \pi$$



- * rotazioni uguali e opposte di ϑ_4 e ϑ_6 non producono alcuna rotazione dell'organo terminale

Singolarità di struttura portante

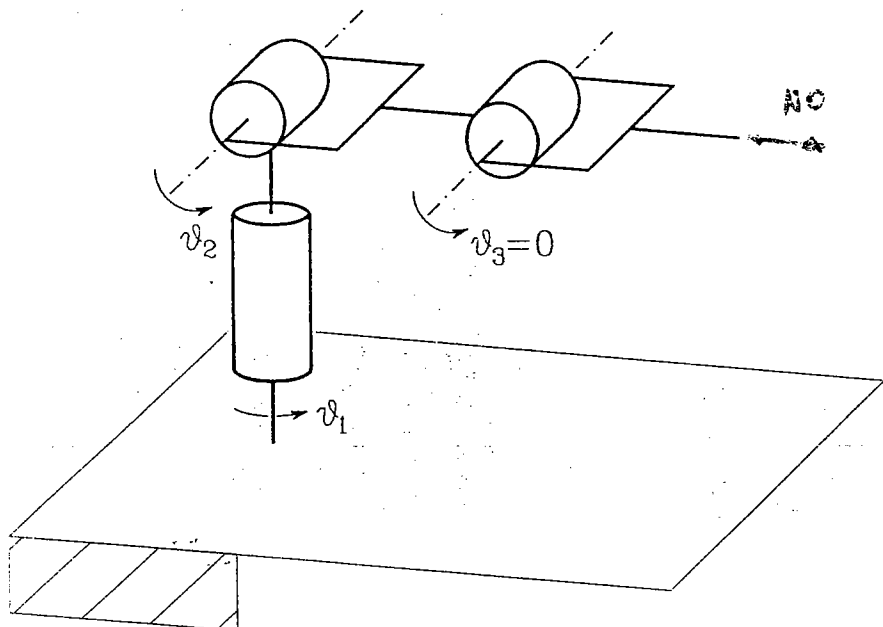
- Manipolatore antropomorfo

$$\det(J_P) = -a_2 a_3 s_3 (a_2 c_2 + a_3 c_{23})$$

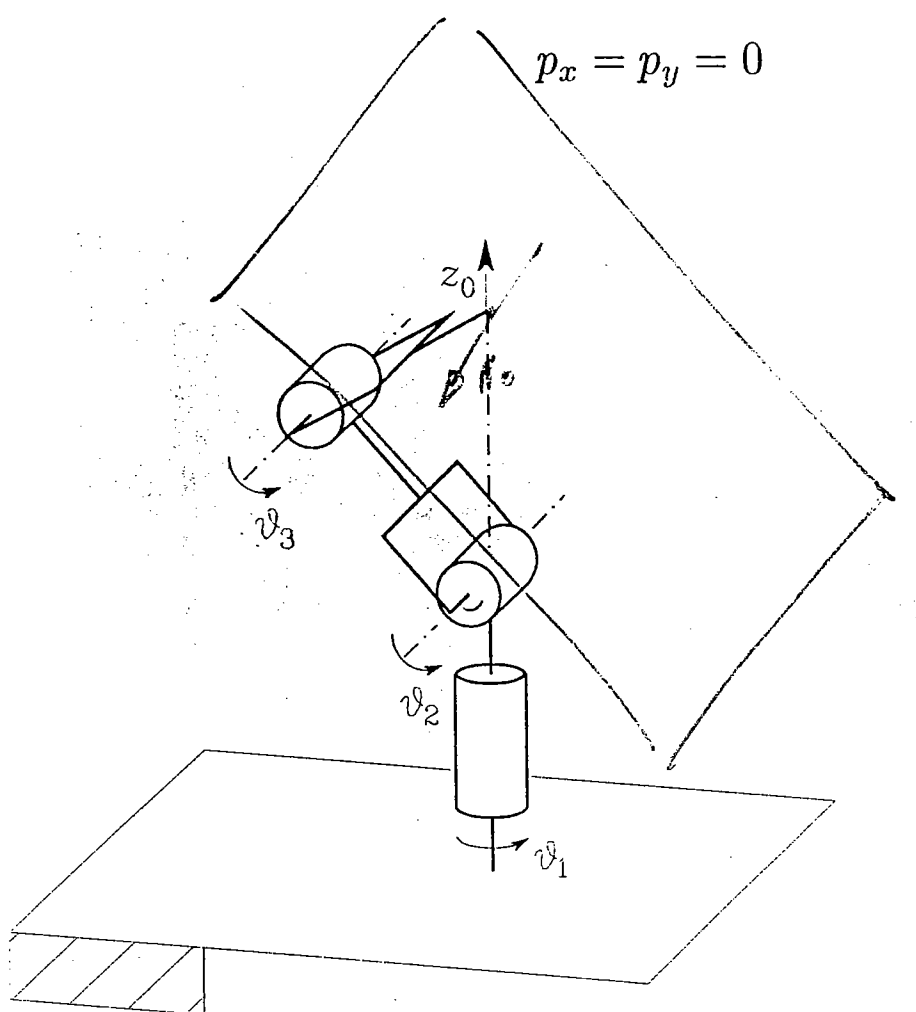
$$s_3 = 0 \quad a_2 c_2 + a_3 c_{23} = 0$$

- ★ Singolarità di *gomito*

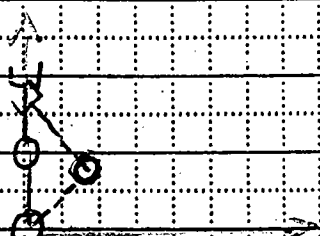
$$\vartheta_3 = 0 \quad \vartheta_3 = \pi$$



* Singolarità di spalla



e singolarità cinematiche possono impedire al manipolatore di eseguire moti con velocità specificata (se $\dot{x} \notin R(\mathcal{J})$). Ciononostante, il moto in alcune di quelle direzioni può essere possibile:



Esempio: Manipolatore planare 2 link

$$\text{Cinematica diretta: } \begin{cases} x = q_1 c + q_2 c_2 \\ y = q_1 s + q_2 s_2 \end{cases}$$

$$\text{Cin. diff. } \begin{cases} \dot{x} = -q_1 s + q_2 s_2 \\ \dot{y} = q_1 c + q_2 c_2 \end{cases}$$

$$\text{ovvero } \begin{cases} \ddot{x} = -q_1 \dot{s} + q_2 \dot{s}_2 \\ \ddot{y} = q_1 \dot{c} + q_2 \dot{c}_2 \end{cases}$$

$$\begin{cases} \ddot{x} = -q_1 \dot{s} + q_2 \dot{s}_2 \\ \ddot{y} = q_1 \dot{c} + q_2 \dot{c}_2 \end{cases}$$

Se, per $t=0$, $q_1(0) = \pi/2$; $q_2(0) = 0$ (sinistra iniziale).

\Rightarrow $R(\mathcal{J}) = \begin{pmatrix} 1 & 0 \\ 0 & 1 \end{pmatrix}$, perché all'origine $\dot{\mathbf{x}} = 0$.

Liberalmente l'onda offre un moto diverso, se si

abbiamo $\dot{x} = 0$:

$$x(t) = 0 \Rightarrow \dot{y}(t) = q_2 c_{12} \dot{q}_2$$

$$\Rightarrow 0 = -y \ddot{q}_1 - q_2 s_{12} \ddot{q}_2 \Rightarrow \ddot{q}_1 = -\frac{q_2 s_{12}}{y} \ddot{q}_2$$

\Rightarrow scegliamo $q_2(t) = \alpha t^2$

$$\Rightarrow q_2(t) = 2\alpha t; \quad \dot{q}_2(t) = -\frac{\alpha s_{12} \sin(q_1 + q_2)}{\alpha c_1 \cos(q_1 + q_2)} 2\alpha t$$

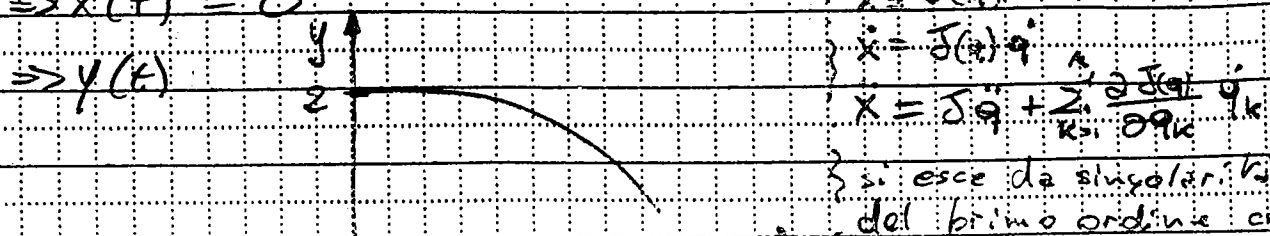
$q_1(t)$ soluzione della ODE con $q_1(0) = \pi/2$

(soluz. numerica)

Casi da-solo quindi

$$\Rightarrow x(t) = 0$$

$$\Rightarrow y(t)$$



$$\ddot{q}_1 = f(q)$$

$$\ddot{x} = f(q) \dot{q}$$

$$x = \int \dot{x} dt + \sum_k \frac{\partial f(q)}{\partial q_k} \dot{q}_k$$

Si esce da singolarità del primo ordine con

accelerazioni non null

cioè $\ddot{x}(t_0) \cup \ddot{q}(t_0)$

Manipolarità

Il braccio in configurazione singolare, o braccio singolare, si comporta in modo che di fatto a seconda delle direzioni in cui il moto tool-end-effector è specificato:

$$\dot{\mathbf{x}} = \mathbf{J} \dot{\mathbf{q}} = \mathbf{U} \mathbf{Z}^T \dot{\mathbf{q}} \quad \begin{aligned} \dot{\mathbf{x}} &\cong \mathbf{U} \dot{\mathbf{x}}; \\ \dot{\mathbf{x}} &\cong \mathbf{Z}^T \dot{\mathbf{q}}; \end{aligned}$$

Se $\mathbf{M} = \mathbf{N}$, $\mathbf{Z} = \text{diag}(G_1, \dots, G_m)$

sono altre singolarità, $G_i \neq 0$; in queste coordinate, per effettuare una velocità $\dot{\mathbf{x}} = (1, 0, \dots, 0)^T$ è necessaria una velocità dei giunti $\dot{\mathbf{q}} = (1/\bar{G}_1, 0, \dots, 0)$ molto elevata nelle vecchie coordinate, $\dot{\mathbf{x}} = \mathbf{U}_1$, prima colonna di \mathbf{U} , autovettore di $\mathbf{J} \mathbf{J}^T$ corrispondente a $G_{\min}(\mathbf{J} \mathbf{J}^T)$.

Perciò, considerando: $\dot{\mathbf{x}} = \mathbf{Z} \dot{\mathbf{q}}$, $\mathbf{Z} = \begin{pmatrix} G_1 & \cdots & 0 & \cdots & 0 \\ \vdots & \ddots & \vdots & \ddots & \vdots \\ 0 & \cdots & G_m & \cdots & 0 \end{pmatrix}$

Perciò, di fatto: $\dot{\mathbf{x}} = \mathbf{Z} \dot{\mathbf{q}}$, $\mathbf{Z} = \begin{pmatrix} G_1 & \cdots & 0 & \cdots & 0 \\ \vdots & \ddots & \vdots & \ddots & \vdots \\ 0 & \cdots & G_m & \cdots & 0 \\ \vdots & \ddots & \vdots & \ddots & \vdots \\ 0 & \cdots & 0 & \cdots & 0 \end{pmatrix}_{m \times n}$

Al contrario, un moto che realizza $\dot{\mathbf{x}} = (0, \dots, 0, 1)$ (per braccio destro) è $\dot{\mathbf{q}} = (0, \dots, 1/\bar{G}_n)$, molto più lento.

Si generalizza questa osservazione e considerando le configurationi sotto base d'una rappresentazione "front-end" / "back-end" (front-end alla

Definiamo il rapporto

dove le norme sono da intendersi, per motivi di coerenza fisica, come opportunamente pesate da tutte le dimensioni.

$$\|\dot{x}\| = \dot{x}^T W_x \dot{x}$$

$$\|q\| = q^T W_q q$$

Sostituendo $\dot{x} = Jq$, si ha

$$R_j = \frac{q^T W_x J^T J q}{q^T W_q q}$$

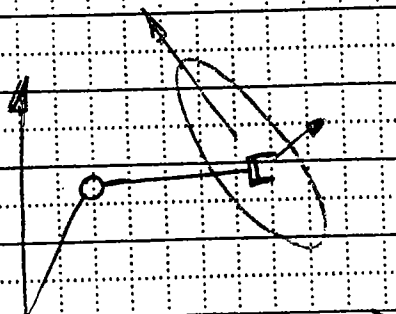
Vediamo il noto "Rapporto di Rayleigh": suo massimo (risparmiano) è ottenuto per quelle q che risolvono il problema di autovalori generalizzato

$$(J^T W_x J) q = \lambda W_q q$$

equivalente, per W_j invertibile = p.d., al classico pb.

$$(W_q^{-1/2} J^T W_x J W_q^{-1/2}) y = \lambda y$$

A questa forma quadratica è associata un'elenco dei valori principali: così detti, come gli autovalori hanno lunghezze proporzionali all'indice degli autovalori.



Trovate le q ottime (passanti) le corrispondenti x sono soluzioni

ELLISSOIDI DI MANIPOLABILITÀ

- *Ellissoide di manipolabilità in velocità*
 - ★ insieme delle velocità ai giunti a norma costante

$$\dot{q}^T \dot{q} = 1$$

- ★ manipolatore ridondante

$$\dot{q} = J^\dagger(q)v$$

↓

$$v^T (J(q)J^T(q))^{-1} v = 1$$

- Assi
 - ★ autovettori u_i di JJ^T \implies direzioni

- ★ valori singolari $\sigma_i = \sqrt{\lambda_i(JJ^T)}$ \implies dimensioni

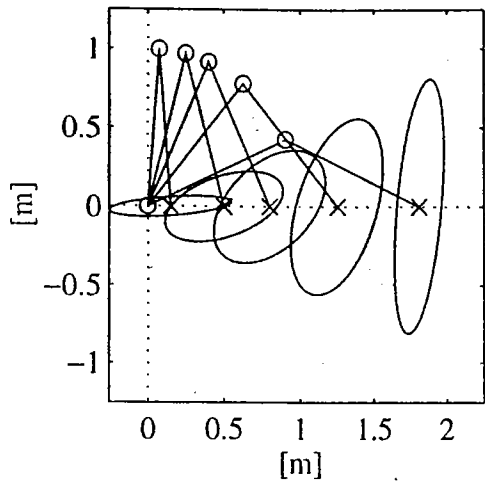
- Volume

- ★ proporzionale a

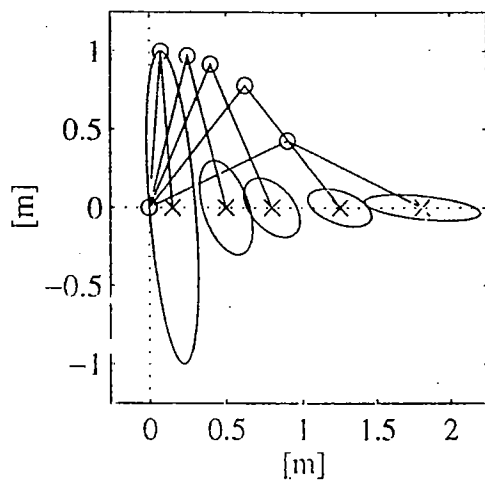
$$w(q) = \sqrt{\det(J(q)J^T(q))}$$

Manipolatore planare a due bracci

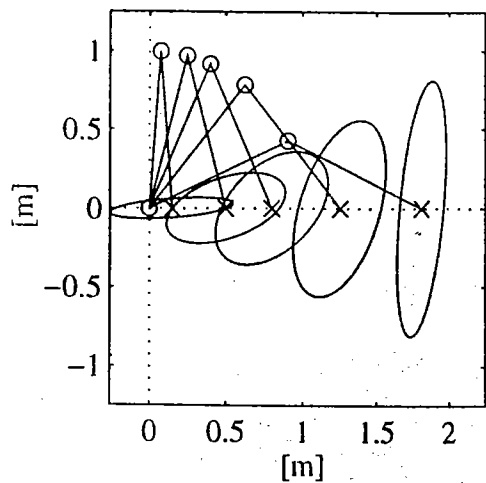
- Ellissi di manipolabilità in velocità



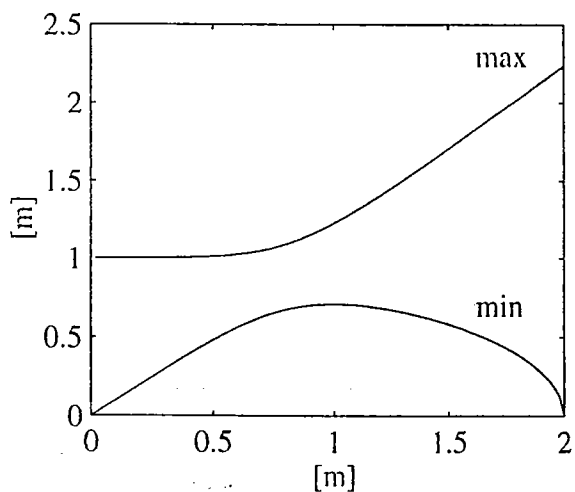
- Ellissi di manipolabilità in forza



- Ellissi di manipolabilità in velocità



- Valori singolari



- *Ellissoide di manipolabilità in forza*
 - * insieme delle coppie ai giunti a norma costante

$$\boldsymbol{\tau}^T \boldsymbol{\tau} = 1$$

↓

$$\boldsymbol{\gamma}^T (\mathbf{J}(\boldsymbol{q}) \mathbf{J}^T(\boldsymbol{q})) \boldsymbol{\gamma} = 1$$

- Dualità cineto-statica
 - * una direzione lungo la quale si ha elevata manipolabilità in velocità è una direzione lungo la quale si ha scarsa manipolabilità in forza, e viceversa

- Manipolatore \equiv *trasformatore meccanico* di velocità e forze
dallo spazio dei giunti allo spazio operativo
 - * rapporto di trasformazione lungo una direzione per l'ellissoide in forza

$$\alpha(\mathbf{q}) = \left(\mathbf{u}^T \mathbf{J}(\mathbf{q}) \mathbf{J}^T(\mathbf{q}) \mathbf{u} \right)^{-1/2}$$

- * rapporto di trasformazione lungo una direzione per l'ellissoide in velocità

$$\beta(\mathbf{q}) = \left(\mathbf{u}^T (\mathbf{J}(\mathbf{q}) \mathbf{J}^T(\mathbf{q}))^{-1} \mathbf{u} \right)^{-1/2}$$

- * utilizzazione di gradi di mobilità ridondanti

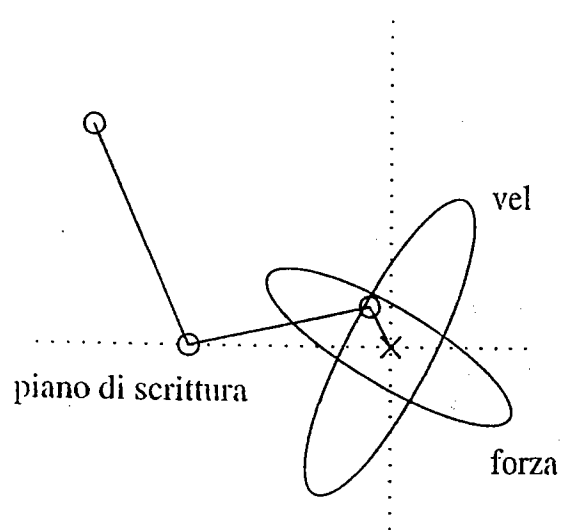
Manipolatore planare a due bracci

- Misura di manipolabilità

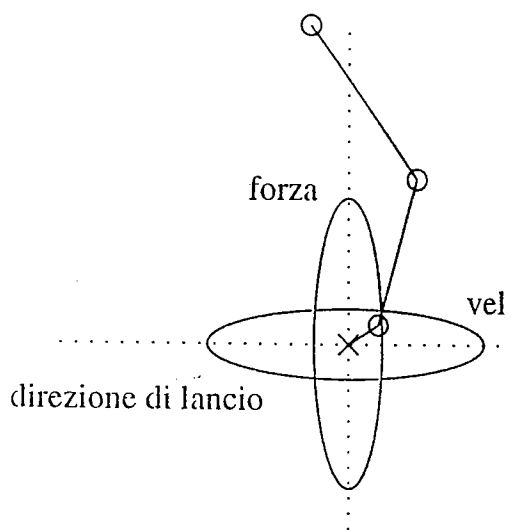
$$w = |\det(\mathbf{J})| = a_1 a_2 |s_2|$$

- ★ max per $\vartheta_2 = \pm\pi/2$
- ★ max per $a_1 = a_2$ (a parità di estensione $a_1 + a_2$)

- Compatibilità della struttura ad eseguire un compito assegnato lungo una direzione
 - * compito di scrittura su superficie orizzontale



- * compito di lancio di un peso in direzione orizzontale



Manipolatori ridondanti

- Per una data configurazione q , trovare le soluzioni \dot{q} che soddisfino

$$v = J\dot{q}$$

e che minimizzino

$$g(\dot{q}) = \frac{1}{2}\dot{q}^T W \dot{q}$$

* metodo dei moltiplicatori di Lagrange

$$g(\dot{q}, \lambda) = \frac{1}{2}\dot{q}^T W \dot{q} + \lambda^T (v - J\dot{q})$$

$$\left(\frac{\partial g}{\partial \dot{q}} \right)^T = \mathbf{0} \quad \left(\frac{\partial g}{\partial \lambda} \right)^T = \mathbf{0}$$

* soluzione ottima

$$\dot{q} = W^{-1} J^T (J W^{-1} J^T)^{-1} v$$

range pieno!

* se $W = I$

$$\dot{q} = J^\dagger v$$

ove

$$J^\dagger = J^T (J J^T)^{-1}$$

è la pseudo-inversa destra di J

Più in generale, se $J = U \Sigma V^T$ è la s.v.d. di J cioè
 $\bar{J} \bar{J}^T = U \Sigma \Sigma^T U^T$; $J^T \bar{J} = V \Sigma^T \Sigma V^T$; $U^T U = I_m$; $V^T V = I_n$; $\Sigma = \begin{pmatrix} \text{diag } (\sigma_1, \dots, \sigma_r) \\ \hline & (m-r) \times (m-r) \end{pmatrix}$

allora $J^\dagger = V \Sigma^+ U^T$, $\Sigma^{+} = \begin{pmatrix} \text{diag } (\frac{1}{\sigma_1}, \dots, \frac{1}{\sigma_r}) \\ \hline & (m-r) \times (m-r) \end{pmatrix}$

- Utilizzo della ridondanza

$$g'(\dot{q}) = \frac{1}{2}(\dot{q}^T - \dot{q}_a^T)(\dot{q} - \dot{q}_a)$$

* come sopra ...

$$g'(\dot{q}, \lambda) = \frac{1}{2}(\dot{q}^T - \dot{q}_a^T)(\dot{q} - \dot{q}_a) + \lambda^T(v - J\dot{q})$$

* soluzione ottima

$$\dot{q} = J^\dagger v + (I - J^\dagger J)\dot{q}_a$$

$$\begin{aligned} \dot{q} &= J^\dagger v + (I - J^\dagger J)\dot{q}_a \\ &= v + \phi \end{aligned}$$

- Caratterizzazione dei moti interni

$$\dot{q}_a = k_a \left(\frac{\partial w(\mathbf{q})}{\partial \mathbf{q}} \right)^T$$

* misura di manipolabilità

$$w(\mathbf{q}) = \sqrt{\det(J(\mathbf{q})J^T(\mathbf{q}))}$$

* distanza dai fine-corsa dei giunti

$$w(\mathbf{q}) = -\frac{1}{2n} \sum_{i=1}^n \left(\frac{q_i - \bar{q}_i}{q_{iM} - q_{im}} \right)^2$$

* distanza da un ostacolo

$$w(\mathbf{q}) = \min_{\mathbf{p}, \mathbf{o}} \|\mathbf{p}(\mathbf{q}) - \mathbf{o}\|$$

$$\begin{pmatrix} 1 & 0 \\ 0 & 1 \end{pmatrix} \quad \sigma \rightarrow \infty$$

$$\begin{cases} \det > 1 \\ N_c = 0 \end{cases}$$

INVERSIONE DELLA CINEMATICA DIFFERENZIALE

- Equazione cinematica non lineare
- Equazione cinematica differenziale lineare nelle velocità
- Data $v(t)$ + condizioni iniziali $\implies (q(t), \dot{q}(t))$

* se $n = r$

$$\dot{q} = J^{-1}(q)v$$

$$q(t) = \int_0^t \dot{q}(\varsigma) d\varsigma + q(0)$$

* regola di integrazione numerica (Eulero)

$$q(t_{k+1}) = q(t_k) + \dot{q}(t_k) \Delta t$$

ALGORITMI PER L'INVERSIONE CINEMATICA

- Inversione cinematica

$$\mathbf{q}(t_{k+1}) = \mathbf{q}(t_k) + \mathbf{J}^{-1}(\mathbf{q}(t_k))\mathbf{v}(t_k)\Delta t$$

- fenomeni di *deriva* della soluzione
- Soluzione algoritmica
 - * *errore nello spazio operativo*

$$\mathbf{e} = \mathbf{x}_d - \mathbf{x}$$

$$\begin{aligned}\dot{\mathbf{e}} &= \dot{\mathbf{x}}_d - \dot{\mathbf{x}} \\ &= \dot{\mathbf{x}}_d - \mathbf{J}_A(\mathbf{q})\dot{\mathbf{q}}\end{aligned}$$

* trovare $\dot{\mathbf{q}} = \dot{\mathbf{q}}(\mathbf{e})$: $\mathbf{e} \rightarrow \mathbf{0}$

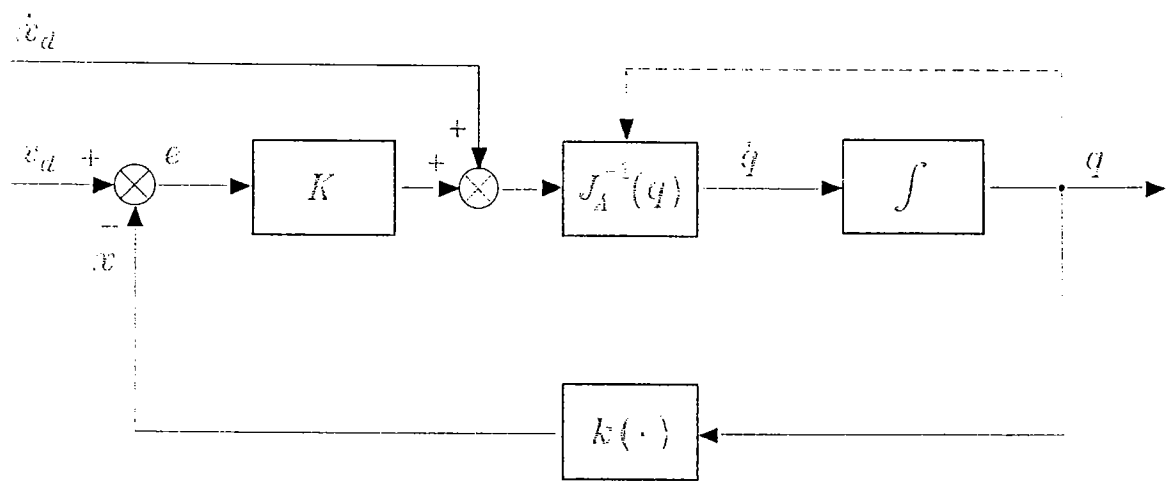
(Pseudo-)inversa dello Jacobiano (Newton - Raphson)

- Linearizzazione della dinamica di errore

$$\dot{q} = J_A^{-1}(q)(\dot{x}_d + K e)$$



$$\dot{e} + K e = 0$$



* Per un *manipolatore ridondante*

$$\dot{q} = J_A^\dagger(\dot{x}_d + K e) + (I - J_A^\dagger J_A) \dot{q}_a$$

Trasposta dello Jacobiano (Método del Gradiente)

- $\dot{q} = \dot{q}(e)$ senza linearizzare la dinamica di errore
- Método di Lyapunov

$$V(e) = \frac{1}{2} e^T K e$$

ove

$$V(e) > 0 \quad \forall e \neq \mathbf{0} \quad V(\mathbf{0}) = 0$$

$$\begin{aligned}\dot{V}(e) &= e^T K \dot{x}_d - e^T K \dot{x} \\ &= e^T K \dot{x}_d - e^T K J_A(q) \dot{q}\end{aligned}$$

* la scelta

$$\dot{q} = J_A^T(q) K e$$

comporta che

$$\dot{V}(e) = e^T K \dot{x}_d - e^T K J_A(q) J_A^T(q) K e$$

* se $\dot{x}_d = \mathbf{0} \implies \dot{V} < 0$ con $V > 0$ (asintotica stabilità)

* se $\mathcal{N}(J_A^T) \neq \emptyset \implies \dot{V} = 0$ se $K e \in \mathcal{N}(J_A^T)$

$\dot{q} = \mathbf{0}$ con $e \neq \mathbf{0}$ (stallo?)

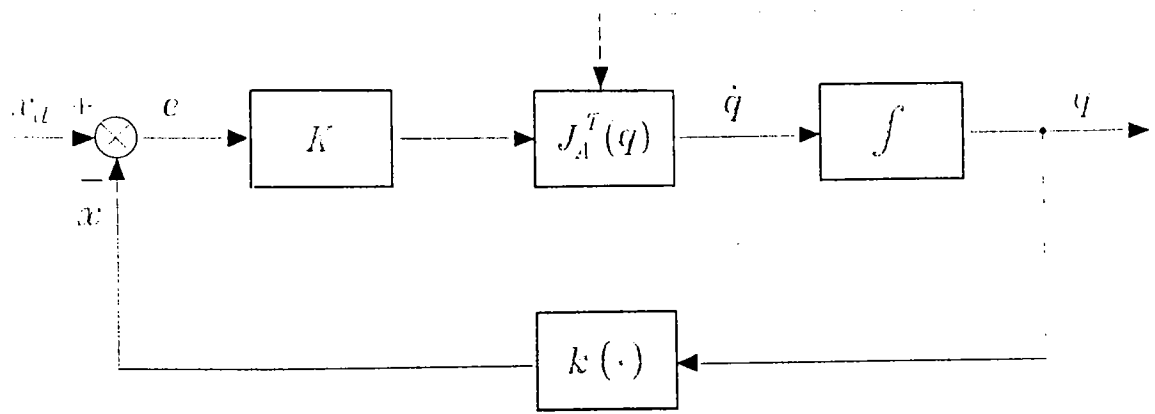
Singolarità cinematiche

- Le soluzioni precedenti valgono solo se J è di rango pieno
- Se J non è di rango pieno (singolarità)
 - * se $v \in \mathcal{R}(J) \implies$ soluzione \dot{q} estraendo tutte le equazioni linearmente indipendenti (traiettoria “fisicamente” eseguibile)
 - * se $v \notin \mathcal{R}(J) \implies$ il sistema non è risolvibile (traiettoria non eseguibile)
- Inversione nell'intorno di singolarità
 - * $\det(J)$ piccolo $\implies \dot{q}$ elevate
 -
 - * *inversa a minimi quadrati smorzata*

$$J^* = J^T (JJ^T + k^2 I)^{-1}$$

ove \dot{q} minimizza

$$g''(\dot{q}) = \|v - J\dot{q}\|^2 + k^2 \|\dot{q}\|^2$$



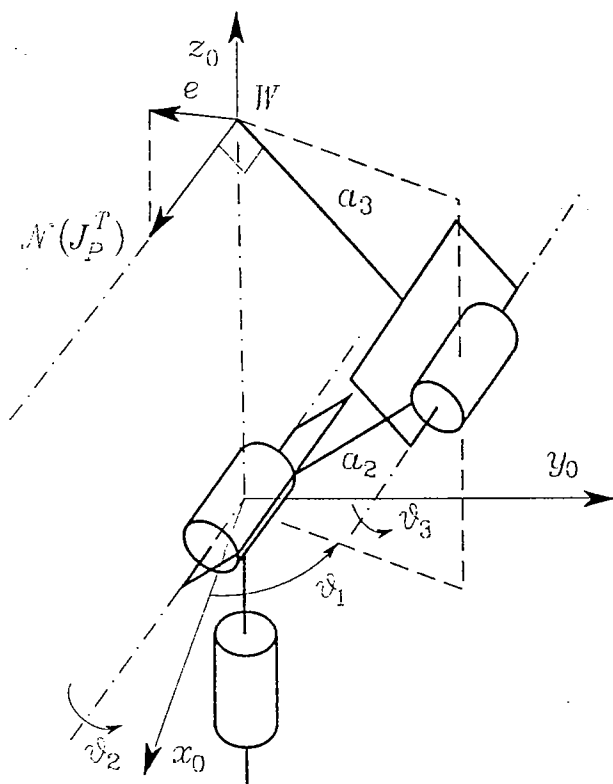
- Se $\dot{x}_d \neq 0$
 - ★ $e(t)$ limitato (conviene aumentare la norma di K)
 - ★ $e(\infty) \rightarrow 0$

- Interpretazione fisica dello schema con la trasposta dello Jacobiano

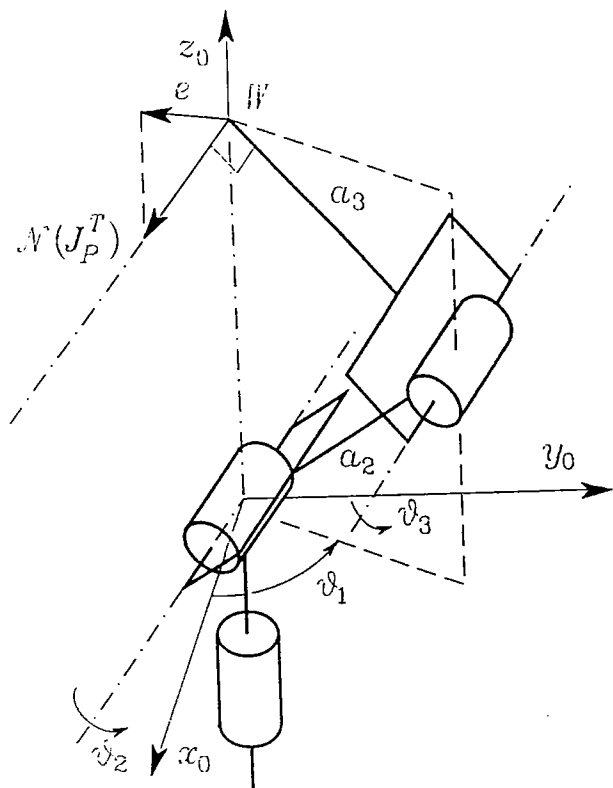
- * dinamica ideale $\tau = \dot{q}$

- * forza elastica Ke che tira l'organo terminale verso la postura desiderata nello spazio operativo

- * ha effetto solo se $Ke \notin \mathcal{N}(\mathbf{J}^T)$



• Esempio



$$\mathbf{J}_P^T = \begin{bmatrix} 0 & 0 & 0 \\ -c_1(a_2 s_2 + a_3 s_{23}) & -s_1(a_2 s_2 + a_3 s_{23}) & 0 \\ -a_3 c_1 s_{23} & -a_3 s_1 s_{23} & a_3 c_{23} \end{bmatrix}$$

* nullo di \mathbf{J}_P^T

$$\frac{\nu_y}{\nu_x} = -\frac{1}{\tan \vartheta_1} \quad \nu_z = 0$$

Considerazioni sull'errore di orientamento

- Errore di posizione

$$e_P = p_d - p$$

$$\dot{e}_P = \dot{p}_d - \dot{p}$$

- Errore di orientamento

$$e_O = \phi_d - \phi$$

- * agevole per assegnare l'andamento temporale $\phi_d(t)$
- * richiede comunque il passaggio attraverso $R = [n \ s \ a]$

- Manipolatore con polso sferico *Polo "ZYZ"*

* calcolare $q_P \implies R_W$

* calcolare $R_W^T R_d \implies q_O$ (angoli di Eulero ZYZ)

$$R_w^T R_d = \begin{pmatrix} r_{11} & r_{12} & r_{13} \\ r_{21} & r_{22} & r_{23} \\ r_{31} & r_{32} & r_{33} \end{pmatrix}$$

$$\left\{ \begin{array}{l} \varphi = \text{Atan} 2(r_{23}, r_{13}) \\ \theta = \text{Atan} 2(\sqrt{r_{13}^2 + r_{23}^2}, r_{33}) \\ \psi = \text{Atan} 2(r_{32}, r_{31}) \end{array} \right.$$

- Note $\mathbf{R}_d = [n_d \ s_d \ a_d]$ e $\mathbf{R} = [n \ s \ a]$, si calcola

$$\mathbf{R}_r(\vartheta) = \mathbf{R}_d \mathbf{R}^T$$

$$\neq R_d - R$$

\uparrow
non è $SO(3)$

Sovraffone R a R_d

$$e_O = r \sin \vartheta$$

$$= \frac{1}{2} (\mathbf{n} \times \mathbf{n}_d + \mathbf{s} \times \mathbf{s}_d + \mathbf{a} \times \mathbf{a}_d)$$

$$\tilde{\mathbf{R}} = S(\omega) \mathbf{R}$$

$$\dot{e}_O = \mathbf{L}^T \boldsymbol{\omega}_d - \mathbf{L} \boldsymbol{\omega}$$

ove

$$\mathbf{L} = -\frac{1}{2} (S(\mathbf{n}_d)S(\mathbf{n}) + S(\mathbf{s}_d)S(\mathbf{s}) + S(\mathbf{a}_d)S(\mathbf{a}))$$

- Dinamica dell'errore

$$\dot{e} = \begin{bmatrix} \dot{e}_P \\ \dot{e}_O \end{bmatrix} = \begin{bmatrix} \dot{\mathbf{p}}_d - \mathbf{J}_P(\mathbf{q})\dot{\mathbf{q}} \\ \mathbf{L}^T \boldsymbol{\omega}_d - \mathbf{L} \mathbf{J}_O(\mathbf{q})\dot{\mathbf{q}} \end{bmatrix}$$

$$= \begin{bmatrix} \dot{\mathbf{p}}_d \\ \mathbf{L}^T \boldsymbol{\omega}_d \end{bmatrix} - \begin{bmatrix} \mathbf{I} & \mathbf{O} \\ \mathbf{O} & \mathbf{L} \end{bmatrix} \mathbf{J} \dot{\mathbf{q}}$$

$\cancel{\mathbf{J} \dot{\mathbf{q}}}$

$\downarrow p_b : \omega_d(t) ?$